

УДК 541.1

**КАРБОМЕТАЛЛИЧЕСКИЕ ПРОИЗВОДНЫЕ БОРОВОДОРОДОВ  $C_{1v}$  И  $C_{5v}$ :  
ПЕРЕЧИСЛЕНИЕ И ИДЕНТИФИКАЦИЯ ИЗОМЕРОВ ЗАМЕЩЕНИЯ  
И СХЕМА РАСЧЕТА СВОЙСТВ  $C_{5v}$  НА ОСНОВЕ ЧИСЕЛ ТРЕУГОЛЬНИКА ПАСКАЛЯ**

**В.М. Смоляков, Д.В. Соколов, Д.Ю. Нилов, В.В. Гребешков**

Тверской государственный университет  
E-mail: smolyakov@inbox.ru

Статья поступила 13 апреля 2012 г.

Методами комбинаторного анализа решена задача определения числа и вида X-замещенных ( $X, XY, \dots$  — некоторые заместители) карбометаллических производных бороводородов  $(C_5H_5)Co(C_2B_9H_{11}) C_{1v}$  и  $(C_5H_5)Co(C_5B_6H_{11}) C_{5v}$  (по вершинам) на основе теоремы Д. Пойа. Установлены формулы симметрии  $Z$  и производящие функции числа хиральных и ахиральных стереоизомеров замещения. Найдены распределения изомеров по семействам (в зависимости от вида и числа заместителей) и в зависимости от числа  $m$  мест возможного замещения. Идентифицированы моно-, ди- и три-X-замещенные ( $X = CH_3, F, \dots$ ) изомеры  $(C_5H_5)Co(C_5B_6H_{11}) C_{5v}$ . На основе разбиения простых ( $n$ ) и треугольных чисел ( $K_3$ ) треугольника Паскаля получены аддитивные схемы, учитывающие валентные и парные невалентные взаимодействия атомов в каркасе полиэдра и содержащие 2, 6 и 23 параметра для расчета свойств X-замещенных бороводородов  $(C_5H_5)Co(C_5B_6H_{11}) C_{5v}$ .

**Ключевые слова:** цикловый индекс, производящие функции, хиральные и ахиральные изомеры замещения, аддитивные схемы, бороводороды, парные и кратные невалентные взаимодействия, молекулярный граф, многоугольные числа, треугольник Паскаля.

Определение физико-химических характеристик соединений требует точных сведений о числе и форме теоретически возможных изомеров гомологических рядов. Для сложных молекул определение формы всех возможных структурных и стереоизомеров без специальных алгоритмов становится сложной задачей.

Цель статьи — провести комбинаторное изучение изомерии замещения [1] полиэдрических карбометаллических производных бороводородов  $C_{1v}$  и  $C_{5v}$ , сформировать гомологический ряд изомеров X-замещенных  $(C_5H_5)Co(C_5B_6H_{11}) C_{5v}$  и получить расчетную схему оценки физико-химических свойств  $P$  ( $\Delta_f H^0, S_f^0, \dots$ ).

**ОБЩАЯ СХЕМА ВЫВОДА ИЗОМЕРОВ ЗАМЕЩЕНИЯ ПОЛИЭДРОВ НА ПРИМЕРЕ  
КАРБОМЕТАЛЛИЧЕСКОГО ПРОИЗВОДНОГО БОРОВОДОРОДОВ  $(C_5H_5)Co(C_2B_9H_{11}) C_{1v}$**

Полиэдрические карбометаллические производные бороводородов — специальный класс соединений бора. Стереохимическая особенность этих бороводородов состоит в том, что они содержат атомы углерода с координационными числами 4, 5 и 6. Вывод изомеров замещения по вершинам полиэдра (или молекулы) может быть дан на основе теории перечисления Пойа. В этой теории группа симметрии  $G$  полиэдра предполагается известной. Основой для перечисления изомеров замещения является представление о группах симметрии моделей исходной моле-

кулы (полиэдра или молекулярного графа). При последовательном выполнении всех возможных операций происходит обмен мест возможного замещения по вершинам полиэдра. Эти обмены образуют циклы, что записывается при помощи символов вида  $f_l^\alpha, f_m^\beta, \dots$ , где  $\alpha, \beta, \dots$  — число циклов, образующихся при выполнении данной операции симметрии;  $l, m, \dots$  — порядок цикла, т.е. число вершин полиэдра, участвующих в циклическом обмене.

**Постулат 1.** Если геометрической модели соответствует  $K_i$  однотипных (нетождественных) операций симметрии  $i$ , то цикловой индекс группы (или формула симметрии) всех операций симметрии полиэдра может быть представлен в виде [1, 2]

$$Z_1(G) = \sum_i \frac{1}{K_i} \times \sum_i K_g f_l^\alpha(g) f_m^\beta(g) \dots, \quad (1)$$

где  $K_i$  — порядок группы;  $K_g$  — число  $g$ -х однотипных операций. С помощью циклического индекса соответствующей группы перестановок можно перейти от комбинаторного подсчета числа всех конфигураций к подсчету их классов эквивалентности. С использованием подстановок вида

$$f_l^\alpha = (h^l + x^l + y^l + \dots)^\alpha, \quad f_m^\beta = (h^m + x^m + y^m + \dots)^\beta, \dots \quad (2)$$

формула (1) преобразуется в производящую функцию

$$h^v + Ah^{v-1}x + Bh^{v-2}x^2 + \dots, \quad (3)$$

коэффициенты  $(1, A, B, \dots)$  в которой равны числу изомеров замещения типа  $h^\alpha x^\beta y^\gamma \dots$ , и могут быть вычислены из соотношения для полиномиальных коэффициентов

$$(h + x + y \dots)^n = \sum_{\alpha, \beta, \gamma} n! / (\alpha! \beta! \gamma!) \cdot h^\alpha x^\beta y^\gamma \dots \quad (4)$$

**Постулат 2.** Если в качестве группы симметрии исходного полиэдра  $Z_2$  взять группу вращений (подгруппу его точечной группы), то цикловой индекс (1) и производящая функция (3) будут включать в себя зеркальные изомеры.

**Постулат 3.** Если из группового множества (1) выделить только операции отражения  $\sigma_h$ ,  $\sigma_v$ ,  $\sigma_d$ ,  $i$  и  $S_n$  и взять их в качестве группы симметрии исходного полиэдра (как подгруппу его точечной группы), то цикловой индекс (1) и производящая функция (3) будут включать в себя только ахиральные изомеры  $Z^{\text{Achir}}$  [4].

**Постулат 4.** Число хиральных пар  $Z^{\text{Chir.par}}$  (только левый или правый пространственный изомер, имеющий антипод) полиэдра или молекулы вычисляется как половина разности между операциями симметрии группы поворотов и операциями отражений полиэдра или молекулы [4, 5].

Замещенные полиэдры, имеющие  $m$  мест возможного замещения, распадаются на  $\rho(m)$  семейств  $(h^m, h^{m-1}x, h^{m-2}x^2, \dots)$ , соответствующих разбиению числа  $v$  на целые положительные части:  $\rho(3) = 3$ ,  $\rho(4) = 5$ ,  $\rho(5) = 7$ , ...,  $\rho(14) = 135$ ,  $\rho(15) = 176$ ,  $\rho(16) = 231$  и т.д.

#### ВЫВОД ИЗОМЕРОВ ЗАМЕЩЕНИЯ $(C_5H_5)Co(C_2B_9H_{11}) C_{1v}$

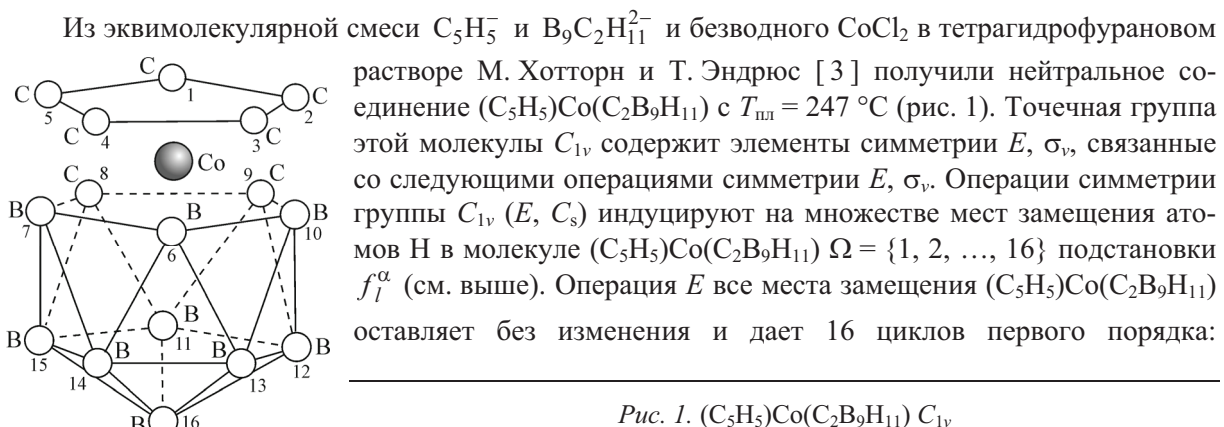


Рис. 1.  $(C_5H_5)Co(C_2B_9H_{11}) C_{1v}$

$E \Rightarrow (1)(2)(3)\dots\dots(11)(16) \Rightarrow f_1^{16}$ . Операция  $\sigma_v$  4 места замещения оставляет без изменения, а остальные попарно обмениваются между собой:  $\sigma_v \Rightarrow (1)(26)(35)(4)(7)(8\ 11)(9\ 10)(12) \Rightarrow f_2^4 f_1^4$ . Сумма всех  $f_l^\alpha$ , деленная на число операций симметрии, дает цикловой индекс группы  $C_{1v}$  для определения изомеров замещения ( $C_5H_5$ ) $Co(C_2B_9H_{11})$  без учета энантиомерии

$$Z_1(C_{1v}) = 1/2(f_1^{16} + f_2^6 f_1^4). \quad (5)$$

Используя в (5) замены вида (2), получим производящую функцию числа изомеров замещения ( $C_5H_{5-k-a}\dots X_kY_a\dots$ ) $Co(CH_{2-l-b}\dots X_lY_b\dots B_9H_{9-m-c}X_mY_c\dots)$ :

$$\Phi(C_{1v}) = 1/2 \{(h+x+\dots)^{16} + (h^2+x^2+\dots)^6(h+x+\dots)^4\}. \quad (6)$$

Коэффициент при  $h^kx^ly^m\dots$  в (6) (после приведения подобных) равен числу изомеров замещенного вида ( $C_5H_{5-k-a}\dots X_kY_a\dots$ ) $Co(CH_{2-l-b}\dots X_lY_b\dots B_9H_{9-m-c}X_mY_c\dots)$ .

Так, например, согласно (5) и (6) число моно-X-замещенных изомеров ( $C_5H_5$ ) $Co(C_2B_9H_{11})$  (коэффициент при  $h^{15}x^1$ ) будет:  $1/2*(16!/15!/1!) + 1/2(6!/6!0!*4!/3!/1!) = 10$ , а именно (см. рис. 1) — 1-X, 2-X, 3-X, 6-X, 7-X, 8-X, 11-X, 12-X, 13-X, 16-X. При подсчете изомеров по формуле (5) не учитываются оптические изомеры. При определении числа изомеров замещения ( $C_5H_5$ ) $Co(C_2B_9H_{11})$  с учетом энантиомерии исключаются операции отражения ( $\sigma_h$ ,  $\sigma_v$ ,  $\sigma_d$ ,  $i$ ,  $S_n$ ). Цикловой индекс группы поворотов  $C_1$  полиэдра имеет вид

$$Z_2(C_1) = f_1^{16}. \quad (7)$$

$$\Phi(C_2) = (h+x+\dots)^{16}. \quad (8)$$

Используя в (7) подстановки (2), получим производящую функцию (8) числа изомеров замещения ( $C_5H_5$ ) $Co(C_2B_9H_{11})$  с учетом свойств хиральности. Эта функция включает в себя и зеркальные изомеры. По (8) число X-изомеров замещения ( $C_5H_5$ ) $Co(C_2B_9H_{11})$  (коэффициент при  $h^{15}x^1$ ) будет:  $16!/15!/1 = 16$ . Это следующие изомеры (см. рис. 1): 1-X, 2-X, 3-X, 4-X, 5-X, 6-X, 7-X, 8-X, 9-X, 10-X, 11-X, 12-X, 13-X, 14-X, 15-X, 16-X.

Если выделить (согласно постулату 3) из множества  $C_{1v}$  только операции второго рода, то получим формулу для определения количества ахиральных изомеров

$$Z^{Achir}(C_{1v}) = f_2^6 f_1^4. \quad (9)$$

Число ахиральных X-замещенных изомеров (коэффициент при  $h^{15}x^1$ )  $6!/6!0!*4!/3!/1! = 4$ . Это следующие изомеры: 1-X, 6-X, 11-X, 16-X. Число хиральных пар  $Z^{Chir.par.}(C_{1v})$  полиэдра или молекулы вычисляется (согласно постулату 4) как

$$Z^{Chir.par.}(C_{1v}) = 1/2(f_1^{16} - f_2^6 f_1^4). \quad (10)$$

По (10) число хиральных пар X-изомеров замещения ( $C_5H_5$ ) $Co(C_2B_9H_{11})$  (коэффициент при  $h^{15}x^1$ ) будет:  $1/2*(16!/15!/1!) - 1/2*(6!/6!0!*4!/3!/1!) = 6$ . Это следующие изомеры (см. рис. 1): 2-X (5-X), 3-X (4-X), 7-X (10-X), 8-X (9-X), 12-X (15-X), 13-X (14-X).

Замещенные полиэдры ( $C_5H_5$ ) $Co(C_2B_9H_{11})$  распадаются (по количеству упорядоченных разбиений числа 16 на положительные целые части) на 231 семейство (табл. 1):  $h^{16}$ ,  $h^{15}x$ ,  $h^{14}x^2$ ,  $h^{14}xy$ ,  $h^{13}x^3$ ,  $h^{13}x^2y$ ,  $h^{13}xyz$ ,  $h^{12}x^4$ , ...  $h^2x^2yzuvwfqrstab$ ,  $h^2xyzuvwfqrstabc$ ,  $hxyzuvwfqrstabcd$  (обозначающих возможные типы замещений).

Таблица 1

Число семейств изомеров замещения по вершинам ( $C_5H_5$ ) $Co(C_2B_9H_{11})$   
в зависимости от количества различных типов атомов в семействе

Число типов атомов	1	2	3	4	5	6	7	8	9	10	11	12	13	14	15	16	Всего
Число семейств	1	8	21	34	37	35	28	22	15	11	7	5	3	2	1	1	231

Таблица 2

Распределение количества ахиральных изомеров и изомеров, имеющих антиподы  
 $(C_5H_5)Co(C_2B_9H_{11}) C_{1v}$  по числу  $m$  мест замещения по (5), (7), (9) и (10)

Функция	Тип заместителя	$m$ мест замещения									Сумма
		1	2	3	4	5	6	7	8	...	
$Z_1(C_{1v})$	X	10	66	294	936	2226	4062	5790	6510	...	33279
$Z_2(C_{1v})$	X	16	120	560	1820	4368	8008	11440	12870	...	65535
$Z^{Achir}(C_{1v})$	X	4	12	28	52	84	116	140	150	...	1023
$Z^{Chir.par}(C_{1v})$	X	6	54	266	884	2142	3946	5650	6360	...	32256

Таблица 3

Результаты идентификации хиральных и ахиральных дизамещенных  $X_2$ -изомеров  
 $(C_5H_5)Co(C_2B_9H_{11}) C_{1v}$  согласно (5)

№	Изомер										
1	1,2-X <sub>2</sub>	15	2,8-X <sub>2</sub>	29	3,10-X <sub>2</sub>	43	7,9-X <sub>2</sub>	40	6,13-X <sub>2</sub>	54	8,13-X <sub>2</sub>
2	1,3-X <sub>2</sub>	16	2,9-X <sub>2</sub>	30	3,11-X <sub>2</sub>	44*	7,10-X <sub>2</sub>	41*	6,16-X <sub>2</sub>	55	8,14-X <sub>2</sub>
3*	1,6-X <sub>2</sub>	17	2,10-X <sub>2</sub>	31	2,12-X <sub>2</sub>	45	7,11-X <sub>2</sub>	42	7,8-X <sub>2</sub>	56	8,15-X <sub>2</sub>
4	1,7-X <sub>2</sub>	18	2,11-X <sub>2</sub>	32	3,13-X <sub>2</sub>	46	7,12-X <sub>2</sub>	43	7,9-X <sub>2</sub>	57	8,16-X <sub>2</sub>
5	1,8-X <sub>2</sub>	19	2,12-X <sub>2</sub>	33	3,14-X <sub>2</sub>	47	7,13-X <sub>2</sub>	44*	7,10-X <sub>2</sub>	58	11,12-X <sub>2</sub>
6*	1,11-X <sub>2</sub>	20	2,13-X <sub>2</sub>	34	3,15-X <sub>2</sub>	48	7,14-X <sub>2</sub>	45	7,11-X <sub>2</sub>	59	11,13-X <sub>2</sub>
7	1,12-X <sub>2</sub>	21	2,14-X <sub>2</sub>	35	3,16-X <sub>2</sub>	49	7,15-X <sub>2</sub>	46	7,12-X <sub>2</sub>	60*	11,16-X <sub>2</sub>
8	1,13-X <sub>2</sub>	22	2,15-X <sub>2</sub>	36	6,7-X <sub>2</sub>	50	7,16-X <sub>2</sub>	47	7,13-X <sub>2</sub>	61	12,13-X <sub>2</sub>
9*	1,16-X <sub>2</sub>	23	2,16-X <sub>2</sub>	37	6,8-X <sub>2</sub>	51*	8,9-X <sub>2</sub>	48	7,14-X <sub>2</sub>	62	12,14-X <sub>2</sub>
10	2,3-X <sub>2</sub>	24*	3,4-X <sub>2</sub>	38*	6,11-X <sub>2</sub>	35	3,16-X <sub>2</sub>	49	7,15-X <sub>2</sub>	63*	12,15-X <sub>2</sub>
11	2,4-X <sub>2</sub>	25	3,6-X <sub>2</sub>	39	6,12-X <sub>2</sub>	36	6,7-X <sub>2</sub>	50	7,16-X <sub>2</sub>	64	12,16-X <sub>2</sub>
12*	2,5-X <sub>2</sub>	26	3,7-X <sub>2</sub>	40	6,13-X <sub>2</sub>	37	6,8-X <sub>2</sub>	51*	8,9-X <sub>2</sub>	65*	13,14-X <sub>2</sub>
13	2,6-X <sub>2</sub>	27	3,8-X <sub>2</sub>	41*	6,16-X <sub>2</sub>	38*	6,11-X <sub>2</sub>	52	8,11-X <sub>2</sub>	66	13,16-X <sub>2</sub>
14	2,7-X <sub>2</sub>	28	3,9-X <sub>2</sub>	42	7,8-X <sub>2</sub>	39	6,12-X <sub>2</sub>	53	8,12-X <sub>2</sub>		

\* Номера ахиральных изомеров отмечены звездочкой, а остальные 54 изомера имеют энантиомер.

В табл. 2 показаны распределения X-замещенных изомеров  $(C_5H_5)Co(C_2B_9H_{11}) C_{1v}$  по числу возможных  $m$  мест замещения, вычисленные по (5), (7), (9) и (10). В табл. 3 приведены (см. рис. 1) результаты идентификации хиральных и ахиральных дизамещенных  $X_2$ -изомеров  $(C_5H_5)Co(C_2B_9H_{11})$  согласно (5).

Подобные рассуждения можно провести и для рассмотренного ниже объекта.

#### ГИПОТЕТИЧЕСКАЯ МОДЕЛЬ КАРБОМЕТАЛЛИЧЕСКОГО ПРОИЗВОДНОГО БОРОВОДОРОДОВ $(C_5H_5)Co(C_5B_6H_{11}) C_{5v}$ . ВЫВОД ИЗОМЕРОВ ЗАМЕЩЕНИЯ

Операциям симметрии молекулы  $(C_5H_5)Co(C_5B_6H_{11}) C_{5v}$  (рис. 2) соответствуют цикловые индексы:  $E \Rightarrow f_1^{16}$ ,  $4C_5 \Rightarrow f_1^1 f_5^3$ ,  $5\sigma_v \Rightarrow f_1^4 f_2^6$ , и формула симметрии без учета свойств хиральности будет иметь вид

$$Z_1(C_{5v}) = 1/10(f_1^{16} + 5f_1^4 f_2^6 + 4f_1^1 f_5^3). \quad (11)$$

Используя в формуле симметрии (11) подстановки (2), получим производящую функцию типа (3), коэффициенты в которой равны числу изомеров замещения

$$\Phi(C_{5v}) = 1/10\{(h+x+\dots)^{16} + 5(h^2+x^2+\dots)^6(h+x+\dots)^4 + 4(h+x+\dots)(h^5+x^5+\dots)^3\}. \quad (12)$$

Рис. 2.  $(C_5H_5)Co(C_5B_6H_{11}) C_{5v}$ 

Для группы вращений  $C_5$  формула симметрии, учитывающая и зеркальные изомеры  $(C_5H_5)Co(C_5B_6H_{11})$ , записывается в виде

$$Z_2(C_5) = 1/5(f_1^{16} + 4f_1^1f_5^3), \quad (13)$$

а для определения количества ахиральных изомеров формула симметрии будет иметь вид

$$Z^{\text{Achir}}(C_{5v}) = f_1^4f_2^6. \quad (14)$$

Цикловой индекс группы симметрии  $C_{5v}$  для определения количества хиральных пар изомеров  $(C_5H_5)Co(C_5B_6H_{11})$  имеет вид

$$Z^{\text{Chir.par}}(C_{5v}) = 1/10(f_1^{16} - 5f_1^4f_2^6 + 4f_1^1f_5^3). \quad (15)$$

Число семейств изомеров  $(C_5H_5)Co(C_5B_6H_{11})$  также составляет 231 (см. табл. 1).

В табл. 4 (см. рис. 2) приведены результаты идентификации ахиральных и хиральныхmono- и дизамещенных  $X_2$ -изомеров  $(C_5H_5)Co(C_5B_6H_{11})$  согласно (11).

#### АДДИТИВНАЯ СХЕМА РАСЧЕТА СВОЙСТВ $(C_5H_{5-k-a}...X_kY_a...)Co(C_5H_{5-l-b}...X_lY_b...B_6H_{6-m-c}X_mY_c...)$ НА ОСНОВЕ РАЗБИЕНИЯ ТРЕУГОЛЬНЫХ ЧИСЕЛ ТРЕУГОЛЬНИКА ПАСКАЛЯ

На основе разбиения простых ( $n$ ) чисел и треугольных чисел ( $K_3$ ) треугольника Паскаля можно получить аддитивную схему для расчета свойств ( $\Delta_f H^0$ ,  $S_f^0$ , ...) замещенных  $(C_5H_{5-k-a}...X_kY_a...)Co(C_5H_{5-l-b}...X_lY_b...B_6H_{6-m-c}X_mY_c...)$  с учетом валентных  $n_X$  и парных невалентных взаимодействий  $n_{X...X}$  атомов в каркасе полиэдра [5—7]. Для описания структурных фрагментов каждой молекулы и построения матрицы аддитивной схемы для ряда изомеров замещения базисного соединения  $(C_5H_5)Co(C_5B_6H_{11})$  с заданной симметрией  $C_{5v}$  использованы [7] элементы строк треугольника Паскаля ( $C_n^m$ ,  $m \leq n$ ). Каждый коэффициент схемы есть число способов наложения данного подграфа на молекулярный граф [7]. Элементы столбцов треугольника — структурные инварианты. Если свойство ( $P$ ) X-замещенного — сумма вкладов, вносимых элементами структуры, то [5] ( $X = CH_3, F, \dots$ )

$$P = C_n^0 p_0 + C_n^1 p_1 + \dots + C_n^{n-1} p_{n-1} + C_n^n p_n, \quad (16)$$

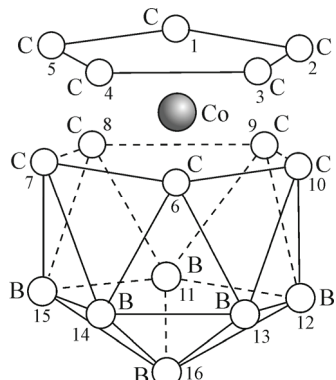
где  $p_0, p_1, p_2, \dots$  — параметры, а  $C_n^0, C_n^1, \dots$  — коэффициенты, причем  $C_n^2, C_n^3, C_n^4, \dots$  — числа  $K_3$  и т.д. При разбиении  $C_n^1, C_n^2, C_n^3$  в (16) получим схему (в парном приближении) для расчета свойства  $P$  93 X-замещенных  $(C_5H_{5-k}X_k)Co(C_5H_{5-l}X_lB_6H_{6-m}X_m)$  (табл. 6).

Таблица 4

*Результаты идентификации ахиральных и хиральных mono- и дизамещенных  $X_2$ -изомеров  $(C_5H_5)Co(C_5B_6H_{11}) C_{5v}$  согласно (11)*

№	Изомер	№	Изомер	№	Изомер	№	Изомер
1	$(C_5H_5)Co(C_5B_6H_{11})$	7	1,3- $X_2$	13*	1,13- $X_2$ (1,14- $X_2$ )	19*	6,13- $X_2$ (6,14- $X_2$ )
2	1- $X$	8	1,6- $X_2$	14	1,16- $X_2$	20	6,16- $X_2$
3	6- $X$	9*	1,7- $X_2$ (1,10- $X^2$ )	15	6,7- $X_2$	21	11,12- $X_2$
4	11- $X$	10*	1,8- $X_2$ (1,9- $X_2$ )	16	6,8- $X_2$	22	11,13- $X_2$
5	16- $X$	11	1,11- $X_2$	17	6,11- $X_2$	23	11,16- $X_2$
6	1,2- $X_2$	12*	1,12- $X_2$ (1,15- $X_2$ )	18*	6,12- $X_2$ (6,15- $X_2$ )		

\* Отмечены хиральные пары изомеров.



Т а б л и ц а 5

Типы  $p_i$  и числа  $n_i$  подграфов уравнения (19) для расчета физико-химических свойств замещенных  $(C_5H_5)Co(C_5B_6H_{11}) C_{5v}$

$n_1$	$p_1$	$n_2$	$p_2$	$n_3$	$p_3$	$n_4$	$p_4$
$(C_5H_5)Co(C_5B_6H_{11})$ 		1-X 		6-X 		11-X 	
	$p_5$	$n_6$	$n_6$	$n_7$	$n_7$	$n_8$	$n_8$
		1,2-X <sub>2</sub> 		1,3-X <sub>2</sub> 		1,6-X <sub>2</sub> 	
	$p_9$	$n_{10}$	$p_{10}$	$n_{11}$	$p_{11}$	$n_{12}$	$p_{12}$
		1,8-X <sub>2</sub> 		1,11-X <sub>2</sub> 		1,12-X <sub>2</sub> 	

В графовой интерпретации свойство  $P$  каждой молекулы гомологического ряда может быть представлено в виде линейной функции чисел структурных элементов (вершин, путей длины один, два, три и т.д.), сумма которых равна треугольному числу  $K_3 = n(n + 1)/2$ , где  $n = 1, 2, 3 \dots$ . В парном приближении для всех гетероатомных молекулярных графов  $(C_5H_5)Co(C_5B_6H_{11}) C_{5v}$  выписываются все (неоднородные) подграфы длины два, длины три, ..., и т.д. Подграфами являются также и сами молекулярные графы, поскольку, например, первые

Окончание табл. 5

$n_{13}$	$p_{13}$	$n_{14}$	$p_{14}$	$n_{15}$	$p_{15}$	$n_{16}$	$p_{16}$
$n_{17}$	$p_{17}$	$n_{18}$	$p_{18}$	$n_{19}$	$p_{19}$	$n_{20}$	$p_{20}$
$n_{21}$	$p_{21}$	$n_{22}$	$p_{22}$	$n_{23}$	$p_{23}$		

5 графов молекул X-замещенных  $(C_5H_{5-k}X_k)Co(C_5H_{5-l}X_lB_6H_{6-m}X_m)$  ( $X = CH_3, F, \dots$ ) являются подграфами всех 93 (табл. 5). Так, например, граф 6-X- $(C_5H_{5-k}X_k)Co(C_5H_{5-l}X_lB_6H_{6-m}X_m)$  является подграфом молекулы 1,6-X- $(C_5H_{5-k}X_k)Co(C_5H_{5-l}X_lB_6H_{6-m}X_m)$  и т.п. Каждый коэффициент схемы (иначе говоря, число способов наложения подграфа определенной длины (вида)  $i_1, i_2, \dots$  на МГ) есть результат разложения треугольных чисел [4].

Если свойство  $P(C_5H_5)Co(C_5B_6H_{11})$   $C_{5v}$  — сумма вкладов, вносимых элементами структуры, представленными в виде суммы подграфов (вершин и путей) различной длины в данном МГ, то для свойства  $P(C_5H_5)Co(C_5B_6H_{11})$   $C_{5v}$  получим схему

Таблица 6

Аддитивная схема (18) расчета свойств моно-, ди- и три-X-замещенных ( $X = \text{CH}_3, \text{F}, \dots$ )  $(\text{C}_5\text{H}_5)\text{Co}(\text{C}_5\text{B}_6\text{H}_{11}) C_{5v}$  без учета свойств хиральности (см. рис. 2)

Молекула X-замещения	Коэффициенты схемы						Молекула X-замещ.	Коэффициенты схемы					
	Co	1-X	6-X	11-X	16-X	$K'_3$		Co	1-X	6-X	11-X	16-X	$K'_3$
$(\text{C}_5\text{H}_5)\text{Co}(\text{C}_5\text{B}_6\text{H}_{11})$	1	0	0	0	0	0	...	...	...	...	...	...	...
1-X	1	1	0	0	0	0	6,11,16-X <sub>3</sub>	1	0	1	1	1	3
6-X	1	0	1	0	0	0	6,12,13-X <sub>3</sub>	1	0	1	2	0	3
11-X	1	0	0	1	0	0	6,12,14-X <sub>3</sub>	1	0	1	2	0	3
16-X	1	0	0	0	1	0	6,12,15-X <sub>3</sub>	1	0	1	2	0	3
1,2-X <sub>2</sub>	1	2	0	0	0	1	6,12,16-X <sub>3</sub>	1	0	1	1	1	3
1,3-X <sub>2</sub>	1	2	0	0	0	1	6,13,14-X <sub>3</sub>	1	0	1	2	0	3
1,6-X <sub>2</sub>	1	1	1	0	0	1	6,13,16-X <sub>3</sub>	1	0	1	1	1	3
1,7-X <sub>2</sub>	1	1	1	0	0	1	11,12,13-X <sub>3</sub>	1	0	0	3	0	3
1,8-X <sub>2</sub>	1	1	1	0	0	1	11,12,14-X <sub>3</sub>	1	0	0	3	0	3
...	...	...	...	...	...	...	11,12,16-X <sub>3</sub>	1	0	0	2	1	3
11,12-X <sub>2</sub>	1	0	0	2	0	1	11,13,16-X <sub>3</sub>	1	0	0	2	1	3

$$P(\text{C}_5\text{H}_5)\text{Co}(\text{C}_5\text{B}_6\text{H}_{11}) = n_0 p_0 + K_3 p_l. \quad (17)$$

Здесь  $p_0$  и  $p_l$  — эмпирические параметры;  $n_0 = 1$ ,  $K_3 = 1/2[n(n+1)]$  — треугольное число (суммарное число способов наложения первых 22 X-замещенных подграфов, приведенных в табл. 5 и 6, на исследуемый граф) в молекуле  $(\text{C}_5\text{H}_5)\text{Co}(\text{C}_5\text{B}_6\text{H}_{11}) C_{5v}$ . Схема (17) содержит два параметра. Если в (17) выделить (см. табл. 5 и 6) из  $K_3$  подграфы 1-X, 6-X, 11-X и 16-X (как параметры), то получим схему в шесть параметров:

$$P(\text{C}_5\text{H}_5)\text{Co}(\text{C}_5\text{B}_6\text{H}_{11}) = n_0 p_0 + n_{1-X} p_{1-X} + n_{6-X} p_{6-X} + n_{11-X} p_{11-X} + n_{16-X} p_{16-X} + K'_3 p'_l. \quad (18)$$

Здесь  $p_0$ ,  $p_{1-X}$ ,  $p_{6-X}$ ,  $p_{11-X}$ ,  $p_{16-X}$  и  $p'_l$  — эмпирические параметры;  $n = 1$ ,  $n_{1-X}$ ,  $n_{6-X}$ ,  $n_{11-X}$ ,  $n_{16-X}$  — их числа в молекуле  $(\text{C}_5\text{H}_5)\text{Co}(\text{C}_5\text{B}_6\text{H}_{11}) C_{5v}$ , а  $K'_3 = 1/2[n(n-1)]$  — треугольное число (суммарное число всех пар X...X) непосредственно не связанных между собой атомов в молекуле  $(\text{C}_5\text{H}_5)\text{Co}(\text{C}_5\text{B}_6\text{H}_{11}) C_{5v}$ . Схема (18) содержит 6 параметров. Однако схемы (17) и (18) не различают изомеры в сериях (ди-, тризамещенные и т.д.). Если разложить в (18) число  $K'_3$  (см. табл. 5), получим схему

$$P(\text{C}_5\text{H}_5)\text{Co}(\text{C}_5\text{B}_6\text{H}_{11}) C_{5v} = n_1 p_1 + n_2 p_2 + n_3 p_3 + n_4 p_4 + \dots \dots + n_{23} p_{23}. \quad (19)$$

Схема (19) содержит 23 параметра и различает указанные изомеры X-замещенных (см. табл. 5)  $(\text{C}_5\text{H}_5)\text{Co}(\text{C}_5\text{B}_6\text{H}_{11}) C_{5v}$ . Формула (19), учитывающая валентные и все парные невалентные взаимодействия атомов (H...H, X...H и X...X), может быть использована как "рабочая". В табл. 6 приведена аддитивная схема (18) оценки свойств  $(\text{C}_5\text{H}_5)\text{Co}(\text{C}_5\text{B}_6\text{H}_{11}) C_{5v}$  моно-, ди- и три-X-замещенных (см. рис. 2). Разбиение тетраэдрических чисел  $K_{t_3}$  позволяет учесть тройные, четверные и др. кратные взаимодействия в исследуемых полиэдрах.

Для апробации схемы (18) проведен тестовый расчет значений молекулярного веса метилзамещенных  $(\text{C}_5\text{H}_5)\text{Co}(\text{C}_5\text{B}_6\text{H}_{11}) C_{5v}$  (табл. 7). Показано, что схема (18) может быть использована как "рабочая", поскольку различает группы изомеров исследуемого ряда. При таком допущении соответствующие значения параметров схемы (18) определены методом наименьших квадратов (МНК) следующими, "мол. вес":  $p_0 = 259,92$ ;  $p_{1-X} = 14,03$ ;  $p_{6-X} = 14,03$ ;  $p_{11-X} = 14,03$ ;  $p_{16-X} = 14,03$  и  $p'_l = -0,0017$ . Для расчета свойства P 93 X-замещенных  $(\text{C}_5\text{H}_5)\text{Co}(\text{C}_5\text{B}_6\text{H}_{11}) C_{5v}$  в парном (атом-атомном) приближении (при наличии экспериментальных данных) требуется 6 или 23 параметра.

## Т а б л и ц а 7

*Схема (18) расчета свойств моно-, ди- и три-X-замещенных ( $X = \text{CH}_3, \text{F}, \dots$ ) ( $\text{C}_5\text{H}_5\text{Co}(\text{C}_5\text{B}_6\text{H}_{11}) C_{5v}$  без учета свойств хиральности на примере молекулярного веса*

Молекула X-замещения	Молекулярный вес		Молекула X-замещения	Молекулярный вес		Молекула X-замещения	Молекулярный вес	
	Опыт	Расчет		Опыт	Расчет		Опыт	Расчет
( $\text{C}_5\text{H}_5\text{Co}(\text{C}_5\text{B}_6\text{H}_{11})$ )	259,92	259,92	1,7-X <sub>2</sub>	—	287,98	6,12,15-X <sub>3</sub>	—	302,01
1-X	273,95	273,95	1,8-X <sub>2</sub>	287,98	287,98	6,12,16-X <sub>3</sub>	—	302,01
6-X	—	273,95	...	...	...	6,13,14-X <sub>3</sub>	—	302,01
11-X	—	273,95	11,12-X <sub>2</sub>	287,98	287,98	6,13,16-X <sub>3</sub>	—	302,01
16-X	—	273,95	...	...	...	11,12,13-X <sub>3</sub>	—	302,01
1,2-X <sub>2</sub>	—	287,98	6,11,16-X <sub>3</sub>	—	302,01	11,12,14-X <sub>3</sub>	—	302,01
1,3-X <sub>2</sub>	—	287,98	6,12,13-X <sub>3</sub>	—	302,01	11,12,16-X <sub>3</sub>	—	302,01
1,6-X <sub>2</sub>	287,98	287,98	6,12,14-X <sub>3</sub>	—	302,01	11,13,16-X <sub>3</sub>	302,01	302,01

## ЗАКЛЮЧЕНИЕ

На примере ( $\text{C}_5\text{H}_5\text{Co}(\text{C}_2\text{B}_9\text{H}_{11}) C_{1v}$  и ( $\text{C}_5\text{H}_5\text{Co}(\text{C}_5\text{B}_6\text{H}_{11}) C_{5v}$  показано, что результаты перечислений и идентификация X, XY, ... замещенных ( $X, Y = \text{CH}_3, \text{F}, \dots$ ) базисной структуры с известной группой симметрии и распределения их по семействам важны при формировании файлов гомологических рядов новых молекулярных [ 6, 7 ] и кристаллических структур. Распределения хиральных и ахиральных стереоизомеров в зависимости от числа  $m$  мест замещения полезны при построении оптимальных математических моделей прогнозирования физико-химических свойств веществ для структур исследуемого гомологического ряда [ 6, 7 ].

## СПИСОК ЛИТЕРАТУРЫ

1. *Перечислительные задачи комбинаторного анализа* / Под ред. Г.П. Гаврилова. Сб. переводов. – М.: Мир, 1979.
2. *Прикладная комбинаторная математика* / Под ред. Э. Беккенбаха. – М.: Мир, 1968.
3. *Hawthorne M.F., Andrews T.D. // Chem. Commun.* – 1965. – N 19. – P. 443.
4. *Smolyakov V.M., Sokolov D.V., Nilov D.Yu. // Proc. IV Intern. Conf. Math. Modelling. Moscow. V. 2. – 2000. – MSTU, Stankin. – P. 238 – 242.*
5. *Смоляков В.М. / Расчетные методы в физической химии. – Калинин: КГУ, 1988. – С. 38 – 68.*
6. *Smolyakov V., Sokolov D., Grebeshkov V., Fedin D. // J. Rare Mater. Technol. – 2009. – 28. – P. 626 – 636. – China, Dzyasin.*
7. *Смоляков В.М., Нилов Д.Ю., Соколов Д.В., Гребешков В.В. // Журн. физ. химии. – 2012. – 86, № 2. – С. 316 – 322.*